



پیش از دور و سامانه اطلاعات جغرافیایی در منابع طبیعی (سال دوازدهم / شماره دوم) تابستان ۱۴۰۰

نایاب شده در سایت: پایگاه استنادی علوم جهان اسلام، جهاد دانشگاهی، مگ ایران، نورمگز، سیویلیکا، گوگل اسکولار

آدرس وب سایت: <http://girs.iaubushehr.ac.ir>



Biological تحلیل توزیع مکانی پوسته‌های زیستی خاک بر اساس شاخص (BSCI) Soil Crust

مقاله
پژوهشی

لیلا کاشی زنوزی، سید حسن کابلی، کاظم خاوازی، محمد سهرابی، محمد خسروشاهی

دريافت: ۲۸ آبان ۱۳۹۹ / پذيرش: ۳ بهمن ۱۳۹۹

دسترسی اينترنتي: ۳۰ تير ۱۴۰۰

چکیده

در این تحقیق شاخص (BSCI) برای تهیه نقشه پراکنش پوسته‌های زیستی خاک با غالیت گلسنگ به کار گرفته شده است.

مواد و روش‌ها محدوده مورد مطالعه بخشی از بیابان سگزی (بیابان‌های مرکزی ایران) است که در استان اصفهان از کشور ایران واقع شده است. محدوده مورد مطالعه با مساحت ۱۹۹/۵ هکتار بین طول‌های شرقی "۳۲° ۵۱' ۵۲" تا "۴۱° ۲۷' ۵۲" و عرض‌های شمالی "۳۱° ۳۲' ۳۲" تا "۰۱° ۵۵' ۳۲" گسترده شده است. شب متوسط دشت سگزی ۱۰/۸ درصد و ارتفاع متوسط آن ۱۶۸۰ متر است. بر اساس آمار ایستگاه هواشناسی شرق اصفهان (ایستگاه شهید بهشتی) متوسط بارش سالیانه منطقه ۱۰۶ میلی‌متر است. بر اساس طبقه‌بندی اقلیمی دومارتون، اقلیم منطقه از نوع خشک و براساس طبقه‌بندی آمریزه از نوع خشک سرد است. شاخص (BSCI) شاخصی ترکیبی از روابط مورداستفاده برای برآورد پوشش گیاهی و سطح خاک لخت است و رابطه ریاضی آن شبی خط خاک لحاظ شده است. برای محاسبه خط خاک در یک منطقه، نخست باید پیکسل‌هایی که دارای خاک لخت بوده و هیچ پوشش گیاهی ندارند جدا شوند. به‌منظور محاسبه معادله خط خاک، در چهار فصل سال تصاویر ماهواره Landsat OLI 8 مربوط به سال ۱۳۹۷ از سایت سازمان زمین‌شناسی آمریکا دانلود شده و تعداد ۲۰ الی ۳۰ پیکسل خالص خاک لخت استخراج و با ترسیم مقادیر بازتاب این پیکسل‌ها در محدوده باند قرمز و مادون‌قرمز نزدیک ضرایب خط خاک برای هر یک از

پیشینه و هدف پوسته‌های زیستی خاک مجموعه‌ای از گلسنگ‌ها، خزه‌ها، قارچ‌ها، سیانوباتکری‌ها و غیره هستند که بخش از اکوسیستم خاک را تشکیل داده‌اند. برآورد تراکم و نحوه توزیع پوسته‌های زیستی خاک در مناطق خشک و نیمه‌خشک کشور ایران که موضوع فراسایش و هدر رفت خاک از اهم مسائل است، اهمیت بسزایی دارد. روش‌های مبتنی بر تکنیک سنجش از دور به لحاظ هزینه و زمان کمتر روش‌هایی کارآمد برای دستیابی به این هدف مهم می‌باشد. دشت سگزی یکی از نقاط بحرانی فراسایش بادی در ایران است و شناسایی و تعیین نحوه توزیع پوسته‌های زیستی خاک به عنوان عامل اصلاح‌کننده خاک گامی مؤثر در کاهش فراسایش بادی منطقه است.

لیلا کاشی زنوزی^۱، سید حسن کابلی^(✉)^۲، کاظم خاوازی^۳،

محمد سهرابی^۴، محمد خسروشاهی^۵

۱. دانشجوی دکتری بیابان‌زدایی، دانشکده کویرشناسی، دانشگاه سمنان، ایران

۲. استادیار گروه مدیریت مناطق خشک و بیابانی، دانشکده کویرشناسی، دانشگاه سمنان، ایران

۳. استاد، بخش تحقیقات بیولوژی خاک، مؤسسه تحقیقات خاک و آب کشور، سازمان تحقیقات، آموزش و ترویج کشاورزی، کرج، ایران

۴. استادیار، سازمان پژوهش‌های علمی و صنعتی ایران، تهران، ایران

۵. دانشیار پژوهشی، بخش تحقیقات بیابان، مؤسسه تحقیقات جنگل‌ها و مراتع کشور، سازمان تحقیقات، آموزش و ترویج کشاورزی، تهران، ایران

پست الکترونیکی مسئول مکاتبات: hkaboli@semnan.ac.ir

<http://dorl.net/dor/20.1001.1.26767082.1400.12.2.1.4>

هرچند مقادیر بازتابش طیفی از اراضی کشاورزی و نقاط پرائکنش پوسته‌های زیستی بسیار نزدیک به هم است لیکن نمودار طیفی هر چهار فصل اختلاف زیادی با یکدیگر دارند. لیکن در همه فصول از سال و در همه نقاط کمترین بازتابش در اول زمستان و بیشترین بازتابش در فصل تابستان اتفاق افتاده است. اقلیم دشت سگزی مدیترانه‌ای بوده و بارش در فصل سرد سال انجام می‌شود هم‌زمان با افزایش بارش‌ها از اواسط پاییز گیاهان یک‌ساله و خزه‌ها در پای بوته‌ها شروع به رشد نموده و در اوایل زمستان به اوج خود رسیده‌اند و دوباره در آغاز بهار هم‌زمان با کاهش بارندگی‌ها رو تراکم آن‌ها کاهش یافته است. چنانچه طیف مربوط به زمستان در همه نقاط کمترین بازتابش را داشته است. درحالی‌که در اواخر فصل تابستان که گیاهان یک‌ساله و خزه‌ها خشک‌شده‌اند بیشترین بازتابش طیفی را داشته است. در فسaran که منطقه‌ای لمیزروع و محل دپوی زباله‌هاست، حداقل میزان بازتابش را نشان داده است. بنابراین شاخص BSCI نسبت به درصد ماده آلی خطای فاحشی در تشخیص پوسته‌های زیستی خاک دارد و در جایی که ماده آلی بالا باشد ممکن است تشخیص درستی از پوسته‌های زیستی خاک ارائه ندهد. البته از آنچاکه شاخص BSCI برای تشخیص ترکیبات گلوگان در بافت‌های گلشنگ تعریف شده است. میزان خطای در خصوص ماده آلی به حداقل کاهش می‌یابد. همان‌طور که مشاهده شده است در نقشه نهایی در فسaran پوشش پوسته‌های زیستی وجود ندارد و تنها در نواحی اطراف فسaran در مناطق زراعی پوسته‌های زیستی خاک مشاهده می‌شوند. در مناطق زراعی با توجه به دخالت انسان و کشت و زرع میزان گیاهان یک‌ساله متفاوت با عرصه منابع طبیعی در فصول مختلف سال است و به همین دلیل با اینکه بازتابش طیفی تقریباً نزدیک به زفره و فشارک است لیکن نمودار طیفی پاییز و زمستان کاملاً از یکدیگر تفکیک شده‌اند.

نتیجه‌گیری شباهت طیفی مهم‌ترین پوشش سطحی خاک ازجمله پوشش گیاهی، دخالت عوامل انسانی در افزایش یا کاهش ماده آلی خاک، خاک لخت و غیره میزان کارایی شاخص BSCI را محدود می‌کند و از این‌رو در بازه زمانی تصاویر ماهواره‌ای و شرایط منطقه‌ای تأثیر زیادی در میزان دقت شاخص BSCI دارد.

واژه‌های کلیدی: سیانوگلشنگ، شبیخ‌خط خاک، دشت سگزی

فصل‌های سال در دشت سگزی محاسبه شد. بر اساس این شاخص، شناسایی پوسته‌های زیستی با غالیت گلشنگ، با استفاده از انعکاس طیفی حداقل VIS-NIR و شبیخ بین باند قرمز و سبز در مقایسه با خاک لخت و پوشش گیاهی خشک صورت می‌گیرد. با استفاده از نرم‌افزار ENVI نقشه پرائکنش پوسته‌های زیستی با غالیت گلشنگ در چهار فصل از سال ۱۳۹۷ در دشت سگزی تهیه شدند. سپس نقشه‌های تهیه شده براساس نقاط زمینی اعتبارسنجی شده و میزان صحت کل و شاخص کاپا در هر چهار فصل محاسبه شدند. نمونه‌های گلشنگ جمع‌آوری شده بر اساس خصوصیات مرغولوژیکی آن‌ها و با استفاده از استریوومیکروسکوپ، میکروسکوپ معمولی و معرفه‌های رنگی متداول از قبیل هیدروکسید پتاسیم (KOH) شناسایی شدند. پس از اعمال شاخص BSCI بر روی تصویر ماهواره لنdest ۸ با استفاده از نرم‌افزار ENVI پروفیل طیفی مربوط به ۴ نقطه از دشت سگزی در چهار فصل از سال در نقاط مختلف بررسی شدند.

نتایج و بحث شبیخ‌خط خاک در فصل بارش که هم‌زمان با رشد گیاهان علفی و یک‌ساله است در مقایسه با فصل تابستان که حداقل میزان بارش را داشته و همچنین گیاهان یک‌ساله خشک شده و از بین رفته‌اند، کمتر است. در اردیبهشت ماه شبیخ‌خط خاک حداقل بوده (۰/۳۹) و در اوخر تابستان حداقل مقدار خود را دارد (۰/۷۸). در حقیقت شبیخ‌خط خاک از اسفند ماه تا اردیبهشت رو به کاهش نهاده و سپس با از بین رفتن پوشش گیاهی یک‌ساله و افزایش سطح خاک لخت بیشتر شده است. نقشه‌های پرائکنش پوسته‌های زیستی در هر چهار فصل سال طی بازدیدهای میدانی اعتبار سنجی شدند و سال معلوم شد که بیشترین میزان صحت نقشه مربوط به نقشه تولید شده ۹۴ از تصویر لنdest ۸ مربوط به فصل تابستان با میزان صحت کل درصد و شاخص کاپا برابر با ۰/۷۴۱۲ بوده است. تفسیر پروفیل طیفی شاخص BSCI نشان دادن که بازتابش طیف مربوط به زفره و فشارک که بر روی نقاط با پرائکنش گلشنگ‌ها تهیه شده است بسیار نزدیک به هم بوده و همچنین پروفیل طیف مربوط به اواسط پاییز و اوایل بهار کاملاً منطبق بر هم است. درحالی‌که در فسaran که فاقد پوشش پوسته‌های زیستی بود مقدار بازتابش بیشتر است و اختلافی جزئی بین نمودار بازتابش پاییز و بهار وجود داشت.

لطفاً به این مقاله استناد نکنید: کاشی زنوزی، ل.، کابلی س.ح.، خوازی ک.، سهرابی م.، خسروشاهی، م.، تحلیل توزیع مکانی پوسته‌های زیستی خاک بر اساس شاخص BSCI (Crust)، نشریه سنجش از دور و سامانه اطلاعات جغرافیایی در منابع طبیعی، ۱۴۰۰، ۱۲(۲)، ۱۵-۱.

مقدمه

(CI , Crust) و (۱۸، ۱۲). همان‌طور که شاخص پوسته خاک (Index) توسط کارنیلی و همکاران (۱۲) و همچنین شاخص BSCI , Biological Soil Crust (Index) توسط چن و همکاران (۷) با استفاده از انعکاس طیفی تصاویر ماهواره لندست ETM^+ برای تعیین نقاط پوشیده شده از پوسته های زیستی در ماسه‌زارهای بیابانی بکار گرفته شده است. شاخص CI نشان‌دهنده مناطق تجمع فیکوبیلین‌ها در پیکره سیانوباکتری‌هاست و در ناحیه باند آبی نمایان می‌شوند و شاخص BSCI با محاسبه اختلاف انعکاس باند قرمز و سبز تعیین‌کننده نقاط پراکنش گلسنگ‌هاست. به کارگیری این شاخص‌ها در مناطق بیابانی که ترکیب متنوعی از خاک لخت، ماسه‌زارها، ریگزارها و پوشش گیاهی تنک است به خوبی نمایانگر پراکنش پوسته های زیستی است (۲۸ و ۲۹). برخی از محققان روش‌هایی برای کالیبراسیون الگوریتم‌های مورداستفاده برای فرمول شاخص‌های BSCI و CI پیشنهاد نموده‌اند که شبی خط خاک از جمله آن‌ها است (۲) و بر اساس اختلاف انعکاس طیفی از سطح پوشش گیاهی و سطح خاک لخت محاسبه می‌شود.

این تحقیق باهدف تعیین نقاط پراکنش پوسته های زیستی خاک با غالیت گلسنگ، در بخشی از بیابان دشت سگزی اصفهان که از نقاط بحرانی کشور بوده و روند بیابان‌زایی در آن رو به گسترش است، انجام یافته است تا در مراحل بعد، با تهیه نقشه پراکنش پوسته های زیستی و شناسایی گونه‌های موجود راهکاری برای کنترل روند بیابان‌زایی ارائه شود.

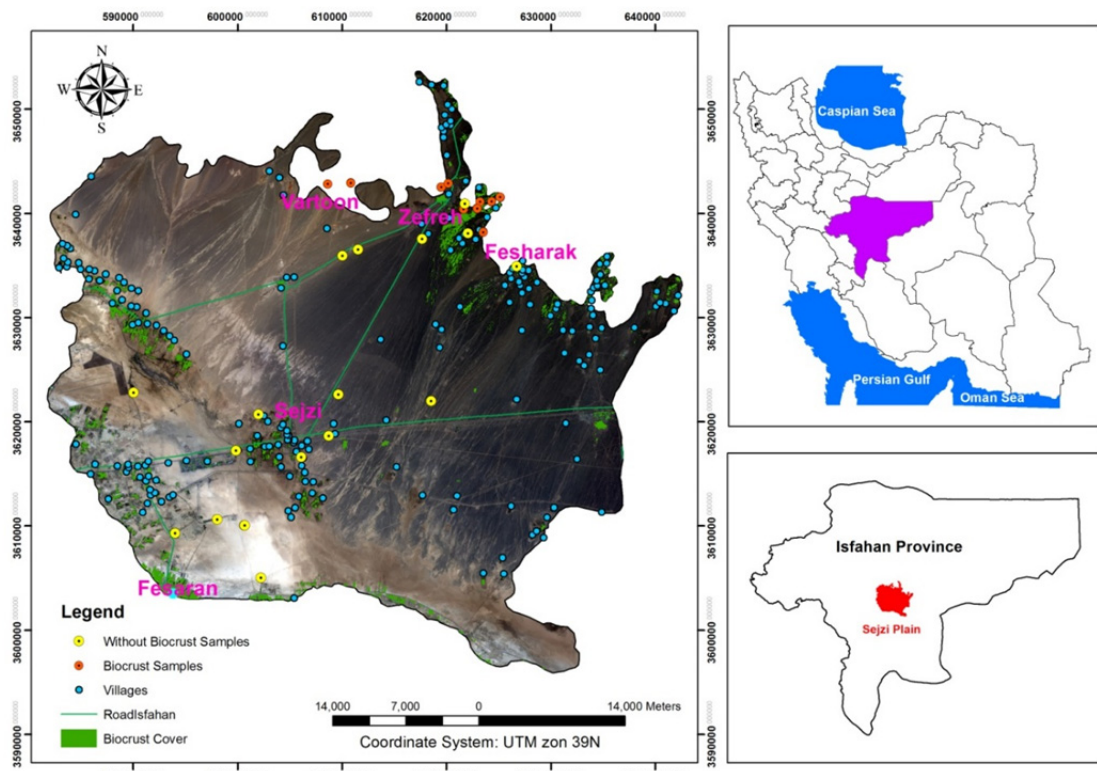
روش تحقیق منطقه مورد مطالعه

محدوده مورد مطالعه بخشی از بیابان سگزی (بیابان‌های مرکزی ایران) است که در استان اصفهان از کشور ایران واقع شده است. محدوده مورد مطالعه با مساحت ۱۹۹/۵ هکتار بین طول‌های شرقی "۵۱°۰۵'۲۲" تا "۵۲°۲۷'۴۱" و عرض‌های شمالی "۳۲°۰۳'۳۱" تا "۳۲°۰۵'۰۱" گسترده شده است (شکل ۱). شبی متوسط دشت سگزی ۱۰/۸ درصد و ارتفاع متوسط آن

پوسته های زیستی خاک مجموعه‌ای از گلسنگ‌ها، خزه‌ها، جلبک‌ها، سیانوباکتری‌ها و سایر میکروارگانیسم‌های موجود در لایه چند میلی‌متری سطح خاک هستند (۲۹) که تأثیر بسزایی در اصلاح ساختمان خاک و افزایش تخلخل مفید (۹ و ۱۷)، افزایش پایداری خاک (۳۰)، افزایش آب قابل دسترس برای گیاهان آوندی (۶)، کنترل سیلاپ (۲۳) و افزایش چسبندگی خاک (۲۶) و کنترل فرسایش بادی (۴، ۵ و ۳۰) دارند. به عبارتی حضور پوسته های زیستی به عنوان شاخص سلامت اکوسیستم تلقی می‌شود. این موضوع بهخصوص در مناطق خشک و نیمه‌خشک که با محدودیت‌های زیادی از قبیل کمبود منابع غذایی، رطوبت و اشعه فرابنفش و شوری خاک رو بروست، از اهمیت ویژه‌ای برخوردار است (۳). شناسایی نقاط پراکنش پوسته های زیستی و همچنین شناسایی گونه‌های بومی و سازگار در مناطق خشک و بیابانی به منظور گسترش آن‌ها در سطح منطقه و احیای خاک از دست‌رفته نقش مؤثری دارد (۲۷). می‌توان مکان پراکنش پوسته های زیستی در سطح خاک منطقه مطالعاتی، را بر اساس خصوصیات انعکاس طیفی از سطوح آن‌ها تعیین نمود (۲۶ و ۲۹). همچنین برخی محققان بر اساس شاخص‌های مختلف پوشش گیاهی از جمله شاخص NDVI, Normalized Difference Vegetation Index (DVI) (۲۴)، شاخص پیشرفتی گیاهی (EVI, Enhanced Vegetation Index) (۱۱)، یا شاخص آبی (WI, Water Index) (۲۱)، بیومس و تولید اولیه (۲۰) و شاخص سطح برگ (۱۰) نقشه‌های پراکنش پوسته های زیستی تهیه نموده‌اند. البته بر اساس مطالعات انجام شده پوسته های زیستی در دو ناحیه اصلی جذب طیفی ۵۱۶ و ۶۷۹ نانومتر که مربوط به ناحیه جذبی کلروفیل و کاروتینوئیدها است، قابل تشخیص هستند (۲۸) و خصوصیات فنولوژیکی پوسته های زیستی در طول موج ۰/۵ تا ۲/۵ میکرومتر از طیف مادون‌قرمز نزدیک مشخص می‌شود (۱۲). مناسب‌ترین روش برای تعیین نقاط پراکنش پوسته های زیستی، استفاده از اختلاف انعکاس‌های طیفی از پوشش گیاهی و سطح خاک لخت است

سرد است. تیپ رویشی غالب منطقه *Artemisia siberi-Noea*, *Salsola tomentosa- mucronata-Scariola orientalis*, *Alhagi persarum-tamarix* sp- و *Artemisia siberi* sp- *Anabasis haussknechtii* است (۱۴).

۱۶۸۰ متر است. بر اساس آمار ایستگاه هواشناسی شرق اصفهان (ایستگاه شهید بهشتی) متوسط بارش سالیانه منطقه ۱۰۶ میلی‌متر است. بر اساس طبقه‌بندی اقلیمی دومارتون، اقلیم منطقه از نوع خشک و براساس طبقه‌بندی آمبرژه از نوع خشک



شکل ۱. موقعیت منطقه مطالعاتی در ایران و استان اصفهان به همراه نقاط نمونه بردازی

Fig. 1. Location of case study in Iran and Isfahan province with sampling pionts

بهمنظور محاسبه معادله خط خاک، در چهارفصل سال تصاویر ماهواره 8 Landsat OLI مربوط به سال ۱۳۹۷ از سایت سازمان زمین‌شناسی آمریکا دانلود شده و تعداد ۲۰ الی ۳۰ پیکسل خالص خاک لخت استخراج و با ترسیم مقادیر بازتاب این پیکسل‌ها در محدوده باند قرمز و مادون قرمز نزدیک ضرایب خط خاک برای هر یک از فصل‌های سال در دشت سگزی محاسبه شد.

محاسبه شبیه خط خاک

شاخص BSCI شاخصی ترکیبی از روابط مورداستفاده برای برآورد پوشش گیاهی و سطح خاک لخت است و رابطه ریاضی آن شبیه خط خاک لحظه شده است. برای محاسبه خط خاک در یک منطقه، نخست باید پیکسل‌هایی که دارای خاک لخت بوده و هیچ پوشش گیاهی ندارند جدا شوند. سپس ارزش پیکسل‌های جدادشده در باند قرمز و مادون قرمز استخراج و معادله رگرسیونی بین ارزش پیکسل‌ها در این دو باند محاسبه می‌شود. ضرایب معادله رگرسیون بیان‌کننده ضرایب خط خاک و شبیه خط ترسیمی همان شبیه خط خاک است.

شناسایی گونه های گلسنگ

نمونه های جمع آوری شده طی دو سال متولی (۲۰۱۸-۲۰۱۹) شماره گذاری شده و در پاکت های کاغذی قرار داده شدند. شناسایی نمونه های گلسنگ بر اساس خصوصیات مرفلوژیکی آنها و با استفاده از استریومیکروسکوپ، میکروسکوپ معمولی و معرفه ای رنگی متدالو از قبیل هیدروکسید پتاسیم (KOH) انجام یافته است. نمونه های جمع آوری شده در موزه گلسنگ شناسی در سازمان پژوهش های علمی و صنعتی ایران نگهداری می شوند.

تجزیه و تحلیل پروفیل طیفی حاصل از شاخص BSCI

پس از اعمال شاخص BSCI بر روی تصویر ماهواره لندست ۸ با استفاده از نرم افزار ENVI پروفیل طیفی مربوط به ۴ نقطه از دشت سگزی در چهارفصل از سال تهیه شد و میزان بازتابش طیفی در چهارفصل از سال در نقاط مختلف بررسی شدند.

نتایج

نقشه پراکنش پوسته های زیستی

بر اساس رابطه شاخص BSCI شیب خط خاک در چهارفصل محاسبه شد. همان طور که در شکل ۲ نشان داده شده است. شیب خط خاک در فصل بارش که همزمان با رشد گیاهان علفی و یک ساله است. در مقایسه با فصل تابستان که حداقل میزان بارش را داشته و همچنین گیاهان یک ساله خشک شده و از بین رفتہ اند، کمتر است. در اردیبهشت ماه شیب خط خاک حداقل بوده (۰/۳۹) و در اواخر تابستان حداکثر مقدار خود را دارد (۰/۷۸). در حقیقت شیب خط خاک از اسفندماه تا اردیبهشت رو به کاهش نهاده و سپس با از بین رفتن پوشش گیاهی یک ساله و افزایش سطح خاک لخت بیشتر شده است.

تهیه نقشه پراکنش پوسته های زیستی

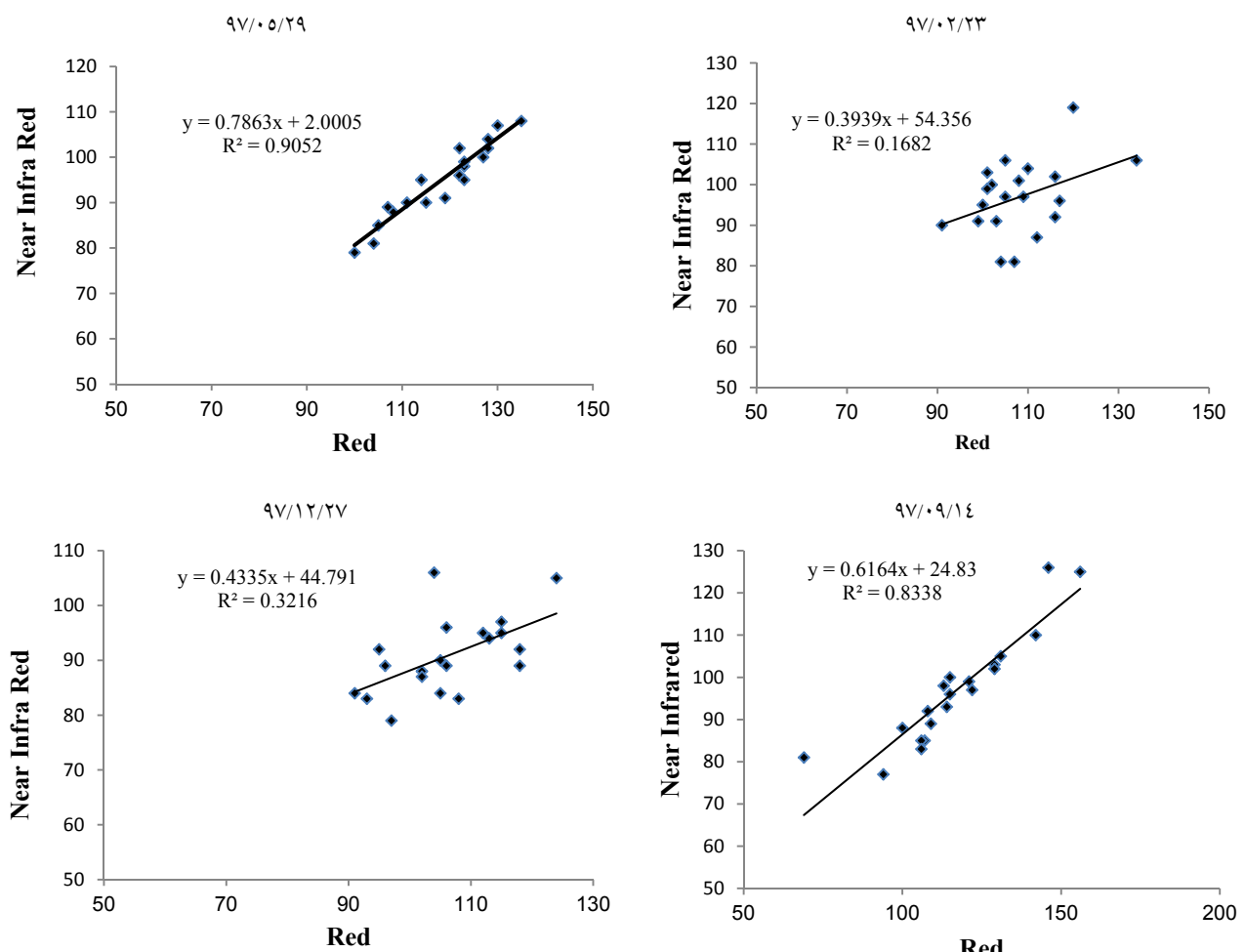
برای استخراج پراکنش پوسته های زیستی در سطح خاک بیابان سگزی از شاخص Biological Soil Crust (BSCI) استفاده شده است. شاخص BSCI از اختلاف باندهای (Index) قرمز و سبز و انعکاس طیفی باند مادون قرمز نزدیک (باند ۵-NIR) و نور مرئی (باند ۳-سبز، باند ۴-قرمز و باند ۲-آبی) به دست می آید. بر اساس این شاخص، شناسایی پوسته های زیستی با غالبیت گلسنگ، با استفاده از انعکاس طیفی حدائق VIS-NIR و شبیه بین باند قرمز و سبز در مقایسه با خاک لخت و پوشش گیاهی خشک صورت می گیرد (۲۳). بر اساس رابطه ۱ در نرم افزار EVVI اجرا شد و نقاط پراکنش پوسته های زیستی تعیین گردید (شکل ۱).

$$BSCI = \frac{1 - (LX|R_{red} - R_{green}|)}{R_{greenredNIR}} \quad [1]$$

در این رابطه؛ BSCI شاخص پوسته های زیستی با غالبیت گلسنگ، LX شبیه خط خاک، R_{red} میانگین انعکاس طیفی از باند قرمز، R_{green} میانگین انعکاس طیفی از باند سبز و $R_{greenredNIR}$ میانگین انعکاس طیفی از هر سه باند سبز، قرمز و مادون قرمز نزدیک است.

بدین ترتیب نقشه پراکنش پوسته های زیستی با غالبیت گلسنگ در چهارفصل از سال ۱۳۹۷ در دشت سگزی تهیه شدند.

پس از تهیه نقشه پراکنش پوسته های زیستی در هر یک از فصول سال از منطقه مطالعاتی بازدید به عمل آمده و مناطق بدون پوسته های زیستی و دارای پوسته های زیستی طبق نقشه تهیه شده بر اساس شاخص BSCI به روش تصادفی طبقه بندی شده (Stratified Random Sampling) برداشت شدند. سپس نقشه تهیه شده بر اساس نقاط زمینی اعتبارسنجی شده و میزان صحت کل و شاخص کاپا در هر چهارفصل شناخته شدند.

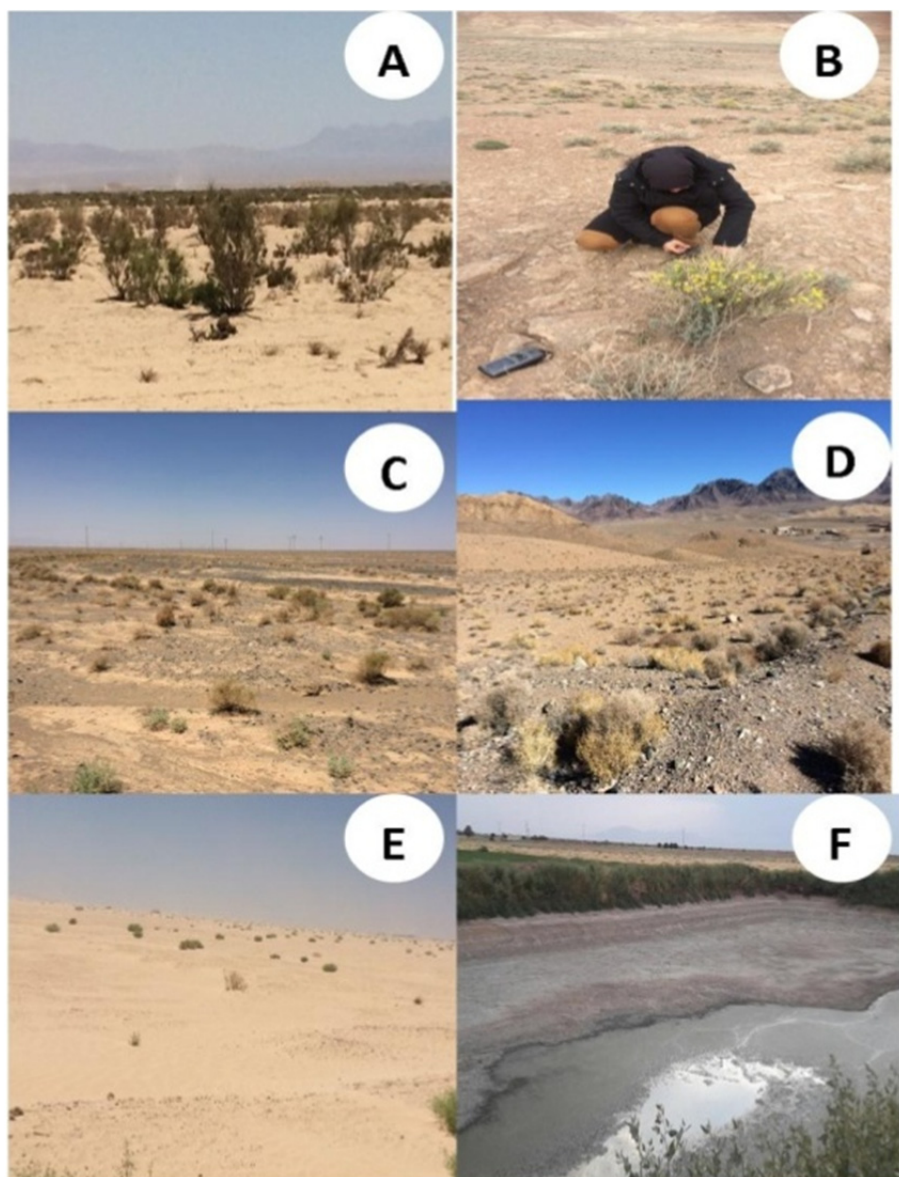


شکل ۲. منحنی شبیخاک تهیه شده از تصاویر ماهواره لندست ۸ OLI در چهارفصل از سال

Fig. 2. Soil line index provided using Landsat OLI 8 for all seasons in a year

جلبک‌های سبز پراکنده شده‌اند. همچنین مرداب‌هایی در پهنه دشت سگزی به مخزنی از جلبک‌های سبز تبدیل شده بودند نیز ایجاد خطانموده و دقت و صحت نقشه تهیه شده را کاهش دادند (شکل ۳).

نقشه پراکنش پوسته‌های زیستی در هر چهارفصل از سال طی بازدید میدانی اعتبار سنجی شده و میزان صحت و شاخص کاپا در هر یک از آن‌ها محاسبه شدند. طی بازدید میدانی معلوم شد برخی از نقاط در نقشه تهیه شده بر اساس شاخص BSCI اراضی کشاورزی هستند که در نهرها و جوی‌های آبیاری آن‌ها



شکل ۳. نقاط برداشت زمینی در عرصه مطالعاتی؛ A: ایستگاه منابع طبیعی دشت سگزی، B: فشارک، C: ورتون، D: زفره، E: فسaran، F: مرداب اطراف روستای علیآباد

Fig. 3. Sampling points in the field; A: Natural resources station, B: Fesharak, C: Vartoon, D- Zefreh, E: Fesaran, F: Aliabad village

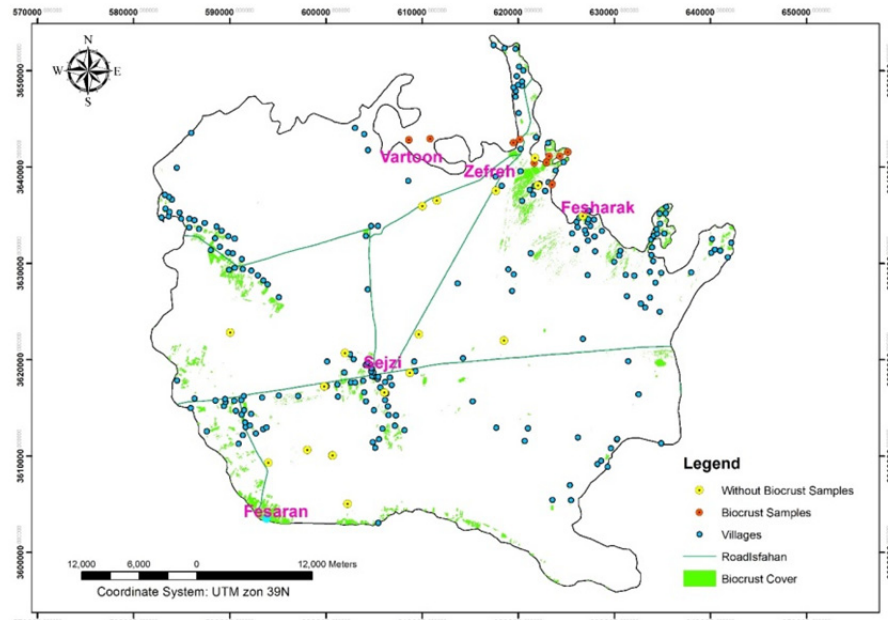
پوسته های زیستی با توجه به نوع پوسته های زیستی، برخی نقاط برداشت شده نقاط با پراکنش گلسنگ نبودند. درنهایت نقشه مربوط به تابستان به عنوان نقشه نهایی پراکنش پوسته های زیستی در دشت سگزی انتخاب گردید (شکل ۴).

البته در بسیاری از نقاط برداشت شده پوشش پوسته های زیستی مورد تأیید قرار گرفت و بیشترین میزان صحت نقشه مربوط به نقشه تولید شده از تصویر لندست ۸ مربوط به فصل تابستان با میزان صحت کل ۹۴ درصد و شاخص کاپا برابر با ۰/۷۴۱۲ بود (جدول ۱). در نقاط فاقد پوسته های زیستی همه نقاط برداشت شده کاملاً صحیح بودند لیکن در نقاط دارای

جدول ۱. نتایج اعتبارسنجی نقشه‌های تولیدشده بر اساس روش آماری نمونه‌گیری تصادفی طبقه‌بندی شده

Table 1. The results of stratified random sampling method used in order to validate produced maps

فصل Season	Class Name نام طبقه	Characteristics مشخصات	Producers Accuracy دقت مولد نقشه	Users Accuracy دقت کاربر
Spring بهار	Class 1-۱ کلاس ۱-۱	- بدون پوسته‌های زیستی -Without Biocrust	%۱۰۰	%۱۰۰
	Class 2-۲ کلاس ۲-۲	- با پوشش پوسته‌های زیستی -Biocrust Covered	%۸۱/۹۴	%۷۳/۴۲
		- دقت کل طبقات - Overall Classification Accuracy = %۷۹		
Summer تابستان	Class 1-۱ کلاس ۱-۱	- بدون پوسته‌های زیستی -Without Biocrust	%۱۰۰	%۱۰۰
	Class 2-۲ کلاس ۲-۲	- با پوشش پوسته‌های زیستی -Biocrust Covered	%۹۵/۶۵	%۸۸
		- دقت کل طبقات - Overall Classification Accuracy = %۹۴		
Fall پاییز	Class 1-۱ کلاس ۱-۱	- بدون پوسته‌های زیستی -Without Biocrust	%۱۰۰	%۱۰۰
	Class 2-۲ کلاس ۲-۲	- با پوشش پوسته‌های زیستی -Biocrust Covered	%۸۷/۴۸	%۸۱/۹۱
		- دقت کل طبقات - Overall Classification Accuracy = %۸۴		
Winter زمیستان	Class 1-۱ کلاس ۱-۱	- بدون پوسته‌های زیستی -Without Biocrust	%۱۰۰	%۱۰۰
	Class 2-۲ کلاس ۲-۲	- با پوشش پوسته‌های زیستی -Biocrust Covered	%۸۷/۳۶	%۷۷/۱۱
		- دقت کل طبقات - Overall Classification Accuracy = %۸۵		
		- شاخص کاپای کل - Overall Kappa Statistics = %۸۱۳۷		



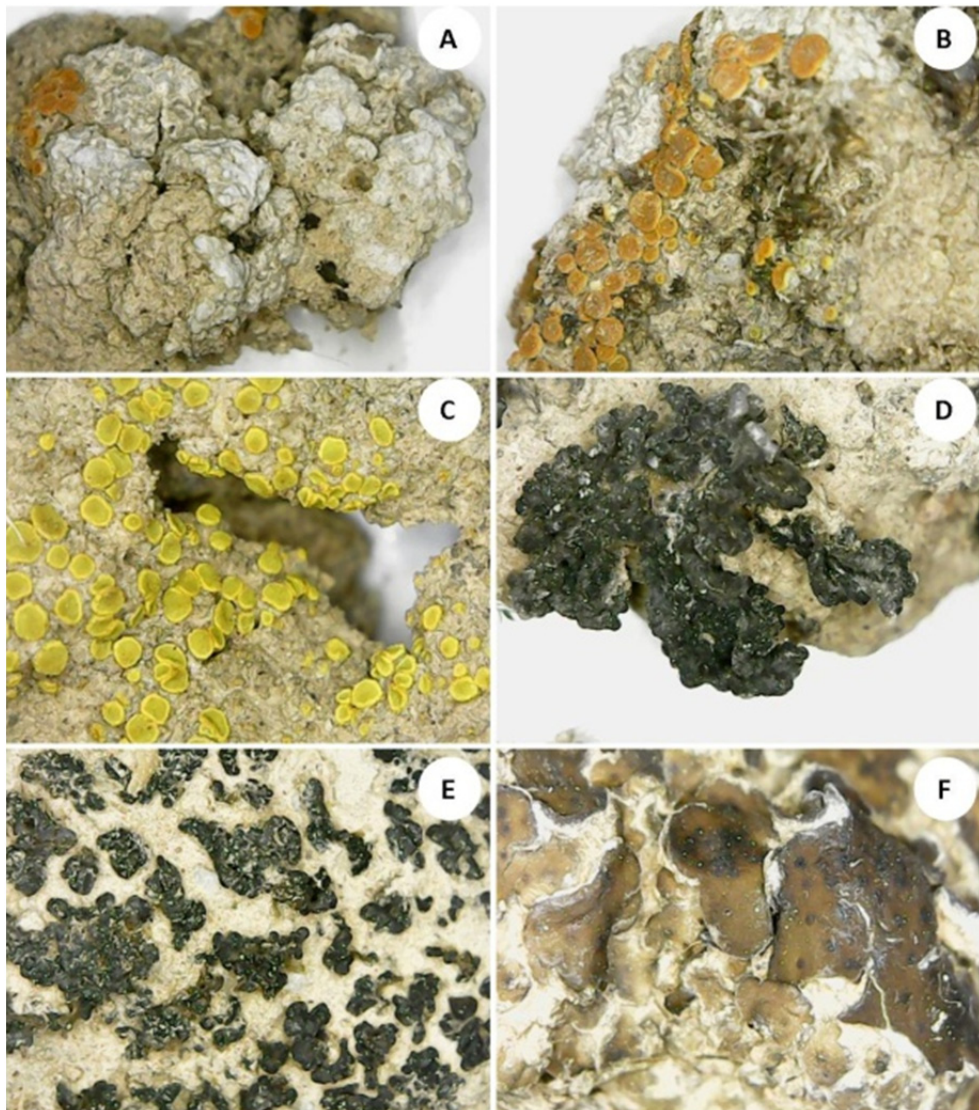
شکل ۴. نقشه پراکنش پوسته‌های زیستی در دشت سگزی

Fig. 4. The maps of distribution of Biological soil crust in Sejzi plain

داده شده اند. اغلب گونه های گلسنگی از دسته سیانو گلسنگ ها و کلرو گلسنگ ها بودند. از مهم ترین گونه های سیانو گلسنگ *Collema tenax*, *Collema cocophorum*, می توان به *Peccania terricola* و از گونه های کلرو گلسنگ نیز *Candelariella sp* اشاره نمود.

گونه های گلسنگ دشت سگزی

پس از جمع آوری گونه های گلسنگ های خاکزی از دشت سگزی بر اساس خصوصیات مرغولوزی آنها تعداد ۳۲ گونه شناسایی شدند (جدول ۲). برخی از گونه ها که بیشترین فراوانی در عرصه مطالعه ای داشتند در شکل ۵ نشان



شکل ۵. برخی از گونه های گلسنگ شناسایی شده در دشت سگزی؛ A: *Circinaria mansouri* ;B :*Caloplaca raesaenenii* ;C :*Placidium squamulosum* ;F :*Peccania terricola* ;E :*Collema tenax* ;D :*Candelariella sp*

Fig. 5. Some of identified lichen species in Sejzi plain- A :*Circinaria mansouri* ,B :*Caloplaca raesaenenii* ,C :*Candelariella sp* ,D :*Collema tenax* ,E :*Peccania terricola* ,F :*Placidium squamulosum*

جدول ۲. لیست اسامی گلشنگ‌های خاکزی شناسایی شده در دشت سگزی

Table 2. The list of teresterial identified lichens in Sejzi plain

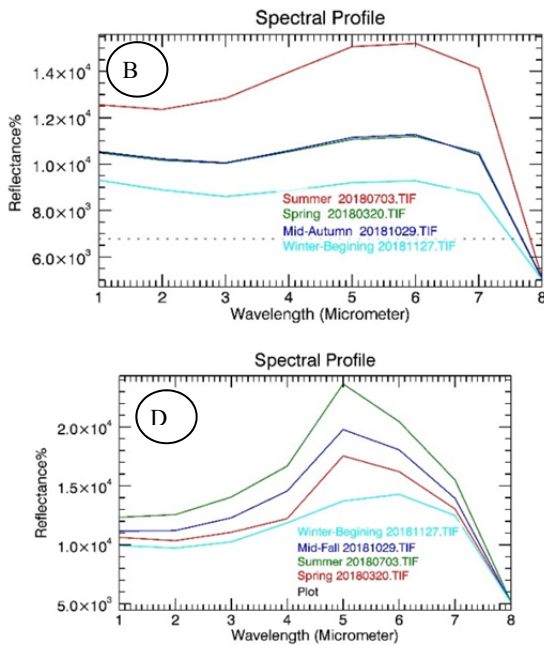
ردیف Num	کد آزمایشگاه Code	کد جغرافیایی X LL	عرض جغرافیایی Y LL	نام گلشنگ Lichen
۱	۵۶۲	۵۲۲۰۱۹	۳۲۵۴۱۸/۵	Moss, Algae
۲	۵۶۳	۵۲۹۴۳/۱	۳۲۵۵۰/۸	Moss, Algae <i>Collema coccophorum</i>
۳	۵۶۴	۵۲۱۸۳/۸	۳۲۵۲۴۳/۴	Moss, Algae <i>Collema coccophorum</i>
۴	۵۶۵	۵۲۹۴۳/۶	۳۲۵۵۵/۴	<i>Peccania arizonica</i>
۵	۵۶۶	۵۲۱۸۵۳/۱	۳۲۵۳۴۴/۸	Moss
۶	۵۶۷	۵۲۱۹۱۵/۳	۳۲۵۲۳۱/۸	Moss, <i>Collema coccophorum</i>
۷	۵۶۸	۵۲۲۰۱۹/۷	۳۲۵۴۱۷/۹	Moss
۸	۵۶۹	۵۲۱۱۸/۳	۳۲۵۵۸/۷	<i>Collema tenax</i> , Moss
۹	۵۷۰	۵۲۱۸۵۳/۷	۳۲۵۳۴۲/۲	<i>Collema tenax</i> , <i>Endocarpon pocillum</i> , <i>Candelariella sp</i> , Moss
۱۰	۵۷۱	۵۲۱۶۴۱/۹	۳۲۵۴۸۱/۸	<i>Candelariella sp</i> , <i>Caloplaca roselans</i> , <i>Megaspora rimisorediata</i> , <i>Caloplaca raeisenenii</i> , Moss
۱۱	۵۷۲	۵۲۹۴۳/۱	۳۲۵۵۰/۹	<i>Endocarpon pocillum</i>
۱۲	۵۷۳	۵۲۱۱۸/۵	۳۲۵۵۸/۱	<i>Collema coccophorum</i> , <i>Circinaria mansourii</i> , <i>Placidium squamulosum</i> , Moss
۱۳	۵۷۴	۵۲۱۹۱۴/۶	۳۲۵۲۲۹/۱	<i>Collema tenax</i> , <i>Collema coccophorum</i> , <i>Placidium squamulosum</i>
۱۴	۵۷۵	۵۲۱۶۴۳/۳	۳۲۵۴۲۱/۸	<i>Peccania terricola</i> , <i>Collema tenax</i> , <i>Collema coccophorum</i>
۱۵	۵۷۶	۵۲۱۹۴۷/۸	۳۲۵۴۴/۶	Moss, <i>Collema coccophorum</i>
۱۶	۵۷۷	۵۲۲۰۱۹	۳۲۵۴۱۸/۴	Moss, <i>Collema coccophorum</i>
۱۷	۵۷۸	۵۲۱۹۴۷/۵	۳۲۵۴۵/۲	Moss, <i>Collema coccophorum</i> , <i>Collema tenax</i>
۱۸	۵۷۹	۵۲۱۹۴/۴	۳۲۵۴۵/۱	<i>Collema coccophorum</i> , <i>Peccania terricola</i>
۱۹	۵۸۰	۵۲۱۸۵۳/۵	۳۲۵۳۴۱/۱	<i>Candelariella sp</i>
۲۰	۵۸۱	۵۲۱۶۴۲/۲	۳۲۵۴۵۱/۷	<i>Circinaria mansourii</i> , <i>Circinaria elmorei</i> , <i>Collema tenax</i> , <i>Candelariella sp</i>

در شکل ۶ مشاهده می‌شود که پروفیل طیفی مربوط به زفره (شکل A-۶) و فشارک (شکل B-۶) که بر روی نقاط با پراکنش گلشنگ‌ها تهیه شده است بسیار نزدیک به هم بوده و همچنین پروفیل طیف مربوط به اواسط پاییز و اوایل بهار کاملاً منطبق بر هم است. در حالی که در فساران (شکل C-۶) که فاقد پوشش پوسته‌های زیستی بود مقدار بازتابش بیشتر است و اختلافی جزئی بین نمودار بازتابش پاییز و بهار وجود داشت. هرچند مقادیر بازتابش طیفی از اراضی کشاورزی (شکل D-۶) و نقاط پراکنش پوسته‌های زیستی بسیار نزدیک به هم است لیکن نمودار طیفی هر چهارفصل اختلاف زیادی با یکدیگر دارند. لیکن در همه فصول از سال و در همه نقاط کمترین

انعکاس طیفی در فصول مختلف سال

پس از اعمال رابطه ریاضی شاخص BSCI و استخراج الگوی توزیع پوسته‌های زیستی با غالیت گلشنگ در محدوده مورد مطالعه پروفیل طیفی در تصویر پردازش شده در چهارفصل از سال تهیه شد. در حوالی روستای زفره و فشارک پراکنش گلشنگ‌های خاکزی غالیت بیشتری داشت. در سایر نقاط دشت سگزی از جمله اراضی کشاورزی نیز شاخص BSCI پراکنش پوسته‌های زیستی را نمایان کرد که طی بازدیدهای میدانی این نقاط به عنوان نقاط خطای پردازش کنار گذاشته شدند.

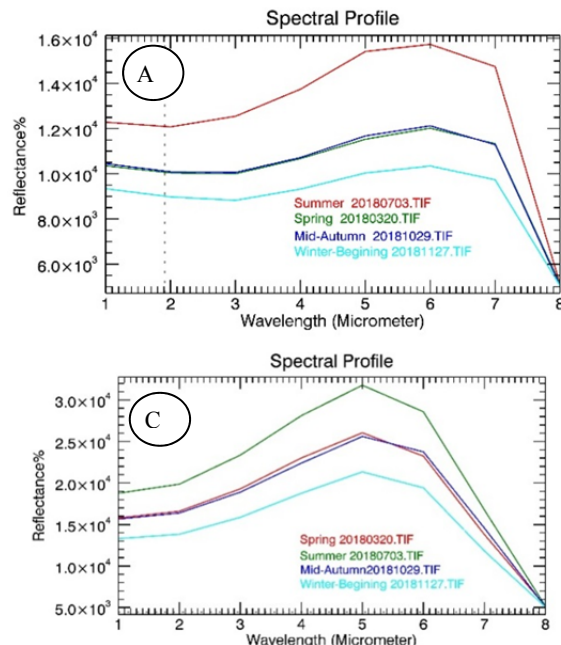
اتفاق افتاده است.



شکل ۶. انعکاس طیفی شاخص BSCI در فصول مختلف سال؛ A: زفره، B: فشارک، C: فسaran، D: روستای علی آباد
Fig. 6. Spectral profile of BSCI in all seasons in a year-A: Zefreh, B: Fesharak, C: Fesaran, D: Aliabad village

که اغلب آنها از دسته سیانوگلشنک‌ها بودند. در حقیقت بخش فتوبیونت گلشنگ یک اتوتروف بوده و مولد موکوس‌ها از نوع ترکیبات پلی‌ساقارید هستند که به نوبه خود در افزایش چسبندگی خاک و تشکیل خاکدانه تأثیر بسزایی داشته و تخلخل مفید خاک را افزایش می‌دهند (۱۵). بنابراین جداسازی بخش فتوبیونت سیانوگلشنگ‌ها، تکثیر و استقرار آنها در سطح خاک اقدامی مؤثر در جهت ثبیت خاک و کنترل فرسایش بادی است. لیکن با توجه به داده‌های مندرج در جداول ۱ و ۲ همچنین نمودارهای طیفی در چهارفصل از سال (شکل ۶) شاخص BSCI در فصل تابستان نقشه پوسته‌های زیستی خاک را دقیق‌تر ارائه نموده است. طی بازدیدهای میدانی معلوم شد صحت کل نقشه تولیدشده در تابستان ۹۴ درصد و شاخص کاپا 9312° است که در مقایسه با سایر نقشه‌های تولیدشده بالاترین میزان دقت و شاخص کاپا را دارد. با توجه به تفسیر طیفی و انطباق طیف استخراج شده در زفره و فشارک در پاییز و بهار می‌توان گفت خطای شاخص BSCI به دلیل تداخل آن بارویش گیاهان یک‌ساله علفی در منطقه بوده است. اقلیم دشت

بازتابش در اول زمستان و بیشترین بازتابش در فصل تابستان



بحث و نتیجه‌گیری

نتایج نشان داد که شاخص پوسته‌های زیستی (BSCI) با نقشه‌های قابل اطمینانی از توزیع پوسته‌های زیستی خاک بهویژه در مناطق خشک و نیمه‌خشک که موضوع فرسایش و هدر رفت خاک از اهم مسائل است ارائه می‌دهد. زیرا در مناطق خشک با توجه به محدودیت‌های موجود از قبیل تنفس خشکی، تابش شدید اشعه فرابنفش، عوامل انسانی از قبیل تغییر کاربری اراضی و احداث جاده‌ها و غیره شدت فرسایش و هدر رفت خاک بسیار زیاد است و مکانیابی و شناسایی پوسته‌های زیستی خاک برای طراحی و اجرای اقدامات لازم گامی بسیار بارزش در جهت احیاء و اصلاح خاک‌های ازدست‌رفته است (۲۳). البته در کشور آمار و ارقام دقیقی از میزان فرسایش آبی و بادی در دست نیست. لیکن طبق برآوردهای انجام شده بر اساس مدل‌های تجربی تخمین‌هایی از فرسایش آبی (۸ و ۱۲) و بادی (۱ و ۱۹) انجام گرفته است. طبق نقشه تهیه شده و بازدیدهای میدانی در بیابان سگزگز ۲۲ گونه گلشنگ خاکزی شناسایی شد

References

- Alipour H, Hasheminasab sH, Hatefi AH, Gholamnia A, Shahnavaz Y. 2014. Estimation of the potential of wind erosion and deposition using IRIFR method in Miandasht Esfarayen region. *Journal of Spatial Analysis Environmental Hazards*, 1(2): 77-92. <https://jsaeh.knu.ac.ir/article-71-2455-en.html>. (In Persian).
- Alonso M, Rodríguez-Caballero E, Chamizo S, Escrivano P, Cantón Y. 2014. Evaluación de los diferentes índices para cartografiar biocostras a partir de información espectral. *Revista española de teledetección*: 79-98. doi:<https://doi.org/10.4995/raet.2014.2317>.
- Belnap J. 2006. The potential roles of biological soil crusts in dryland hydrologic cycles. *Hydrological Processes: An International Journal*, 20(15): 3159-3178. doi:<https://doi.org/10.1002/hyp.6325>.
- Belnap J, Beau JW, Seth MM, Richard AG. 2014. Controls on sediment production in two U.S. deserts. *Aeolian Research*, 14: 15-24. doi:<https://doi.org/10.1016/j.aeolia.2014.03.007>.
- Chamizo S, Cantón Y, Lázaro R, Solé-Benet A, Domingo F. 2012. Crust Composition and Disturbance Drive Infiltration Through Biological Soil Crusts in Semiarid Ecosystems. *Ecosystems*, 15(1): 148-161. doi:<https://doi.org/10.1007/s10021-011-9499-6>.
- Chamizo S, Cantón Y, Rodríguez-Caballero E, Domingo F. 2016. Biocrusts positively affect the soil water balance in semiarid ecosystems. *Ecohydrology*, 9(7): 1208-1221. doi:<https://doi.org/10.1002/eco.1719>.
- Chen J, Yuan Zhang M, Wang L, Shimazaki H, Tamura M. 2005. A new index for mapping lichen-dominated biological soil crusts in desert areas. *Remote Sensing of Environment*, 96(2): 165-175. doi:<https://doi.org/10.1016/j.rse.2005.02.011>.
- Esmali A, Ahmadi H, Tahmoures M. 2014. Quantity assessment of water erosion intensity using regional model of erosion and sediment yield (Case study: Nir watershed, Ardebil). *Journal of Range and Watershed Management*, 67(3): 407-417. doi:<https://doi.org/10.22059/JRWM.2014.52830>.
- Felde VJMNL, Peth S, Uteau-Puschmann D, Drahorad S, Felix-Henningsen P. 2014. Soil microstructure as an under-explored feature of biological soil crust hydrological properties: case study from the NW Negev Desert. *Biodiversity and Conservation*, 23(7): 1687-1708. doi:<https://doi.org/10.1007/s10531-014-0693-7>.
- Gong P, Pu R, Biging GS, Larrieu MR. 2003. Estimation of forest leaf area index using vegetation indices derived from Hyperion hyperspectral data. *IEEE Transactions on Geoscience and Remote Sensing*, 41(6): 1355-1362. doi:<https://doi.org/10.1109/TGRS.2003.812910>.
- Huete A, Didan K, Miura T, Rodriguez EP, Gao X, Ferreira LG. 2002. Overview of the radiometric and

سگزی مدیترانه‌ای بوده و بارش در فصل سرد سال انجام می‌شود هم‌زمان با افزایش بارش‌ها از اواسط پاییز گیاهان یک‌ساله و خزه‌ها در پای بوته‌ها شروع به رشد نموده و در اوایل زمستان به اوج خود رسیده‌اند و دوباره در آغاز بهار هم‌زمان با کاهش بارندگی‌ها تراکم آن‌ها کاهش یافته است. چنانچه طیف مربوط به زمستان در همه نقاط کمترین بازتابش را داشته است. درحالی‌که در اواخر فصل تابستان که گیاهان یک‌ساله و خزه‌ها خشک‌شده‌اند بیشترین بازتابش طبیعی را داشته است. در فسaran که منطقه‌ای لمبزوع و محل دپوی زباله‌هاست (شکل ۶-D) حداقل میزان بازتابش را نشان داده است. بنابراین شاخص BSCI نسبت به درصد ماده آلی خطای فاحشی در تشخیص پوسته‌های زیستی خاک دارد و درجایی که ماده آلی بالا باشد ممکن است تشخیص درستی از پوسته‌های زیستی خاک ارائه ندهد. البته از آنجاکه شاخص BSCI برای تشخیص ترکیبات گلوگان در بافت‌های گلشنگ تعریف شده است (۲۵ و ۱۶) میزان خطا در خصوص ماده آلی به حداقل کاهش می‌پابد. همان‌طور که مشاهده شده است در نقشه نهایی در فسaran پوشش پوسته‌های زیستی وجود ندارد و تنها در نواحی اطراف فسaran در مناطق زراعی پوسته‌های زیستی خاک مشاهده می‌شوند. در مناطق زراعی با توجه به دخالت انسان و کشت و زرع میزان گیاهان یک‌ساله متفاوت با عرصه منابع طبیعی در فصول مختلف سال است و به همین دلیل با اینکه بازتابش طبیعی تقریباً نزدیک به زفره و فشارک است لیکن نمودار طبیعی پاییز و زمستان کاملاً از یکدیگر تفکیک شده‌اند. بنابراین شباهت طبیعی مهم‌ترین پوشش سطحی خاک از جمله پوشش گیاهی، دخالت عوامل انسانی در افزایش یا کاهش ماده آلی خاک، خاک لخت و غیره میزان کارایی شاخص BSCI را محدود می‌کند (۲۲ و ۱۹) و از این‌رو در بازه زمانی تصاویر ماهواره‌ای و شرایط منطقه‌ای تأثیر زیادی در میزان دقیقت شاخص BSCI دارد و طبق نتایج تحقیق بهترین و مؤثرترین زمان آن اواخر تابستان بوده و در عرصه منابع طبیعی بالاترین کارایی را دارد.

- biophysical performance of the MODIS vegetation indices. *Remote Sensing of Environment*, 83(1): 195-213. doi:[https://doi.org/10.1016/S0034-4257\(02\)00096-2](https://doi.org/10.1016/S0034-4257(02)00096-2).
12. Karnieli A. 1997. Development and implementation of spectral crust index over dune sands. *International Journal of Remote Sensing*, 18(6): 1207-1220. doi:<https://doi.org/10.1080/014311697218368>.
 13. Kashi Zenouzi L, Ahmadi H, Nazari Samani A. 2016. Using Statistical Hydrogeomorphology Method for Estimating Sediment Yield of Watersheds (Case study: Zonouz Chay and Zilber Chay watersheds). *Journal of Watershed Management Research*, 6(12): 166-174. <http://jwmr.sanru.ac.ir/article-161-567-en.html>. (In Persian).
 14. Khodagholi M, Feyzi M, Jaberolansar Z, Shirani K, Alijan V. 2017. Plan for recognizing the ecological regions of the country, plant types of Isfahan province. Research Institute of Forests and Rangelands, Iran, 290 p.
 15. Li Z, Jianmin X, Chaowen C, Lina Z, Zhengyan W, Lichao L, Dongqing C. 2020. Promoting desert bio-crust formation using aquatic cyanobacteria with the aid of MOF-based nanocomposite. *Science of The Total Environment*, 708: 134824. doi:<https://doi.org/10.1016/j.scitotenv.2019.134824>.
 16. Miralles I, Lázaro R, Sánchez-Marañón M, Soriano M, Ortega R. 2020. Bio-crust cover and successional stages influence soil bacterial composition and diversity in semiarid ecosystems. *Science of The Total Environment*, 709: 134654. doi:<https://doi.org/10.1016/j.scitotenv.2019.134654>.
 17. Miralles-Mellado I, Cantón Y, Solé-Benet A. 2011. Two-dimensional porosity of crusted silty soils: Indicators of soil quality in semiarid rangelands? *Soil Science Society of America Journal*, 75(4): 1330-1342. doi:<https://doi.org/10.2136/sssaj2010.0283>.
 18. Mojeddifar S, Fereydooni H. 2017. A directed matched filtering algorithm (DMF) for discriminating hydrothermal alteration zones using the ASTER remote sensing data. *International Journal of Applied Earth Observation and Geoinformation*, 61: 1-13. doi:<https://doi.org/10.1016/j.jag.2017.04.010>.
 19. Nazari Samani AA, Ehsani AH, Golivari A, Abdolshahnejad M. 2015. Comparing the results of RWEQ and IRIFR models for determining of land management effects on wind erosion. *Desert Management*, 3(6): 39-53. http://www.jdmal.ir/article_21671.html?lang=en. (In Persian).
 20. Paruelo JM, Piñeiro G, Escribano P, Oyonarte C, Alcaraz D, Cabello J. 2005. Temporal and spatial patterns of ecosystem functioning in protected arid areas in southeastern Spain. *Applied Vegetation Science*, 8(1): 93-102. doi:<https://doi.org/10.1111/j.1654-109X.2005.tb00633.x>.
 21. Peñuelas J, Pinol J, Ogaya R, Filella I. 1997. Estimation of plant water concentration by the reflectance water index WI (R900/R970). *International Journal of Remote Sensing*, 18(13): 2869-2875. doi:<https://doi.org/10.1080/014311697217396>.
 22. Rodríguez-Caballero E, Cantón Y, Chamizo S, Lázaro R, Escudero A. 2013. Soil Loss and Runoff in Semiarid Ecosystems: A Complex Interaction Between Biological Soil Crusts, Micro-topography, and Hydrological Drivers. *Ecosystems*, 16(4): 529-546. doi:[10.1007/s10021-012-9626-z](https://doi.org/10.1007/s10021-012-9626-z).
 23. Rodríguez-Caballero E, Escribano P, Olehowski C, Chamizo S, Hill J, Cantón Y, Weber B. 2017. Transferability of multi- and hyperspectral optical bio-crust indices. *ISPRS Journal of Photogrammetry and Remote Sensing*, 126: 94-107. doi:<https://doi.org/10.1016/j.isprsjprs.2017.02.007>.
 24. Rouse JW, Haas RH, Schell JA, Deering DW. 1974. Monitoring vegetation systems in the Great Plains with ERTS. NASA special publication, 351(1974): 309-317. <https://ntrs.nasa.gov/citations/19740022614>.
 25. Rozenstein O, Karnieli A. 2015. Identification and characterization of Biological Soil Crusts in a sand dune desert environment across Israel-Egypt border using LWIR emittance spectroscopy. *Journal of Arid Environments*, 112: 75-86. doi:<https://doi.org/10.1016/j.jaridenv.2014.01.017>.
 26. Thomas A, Dougill A. 2007. Spatial and temporal distribution of cyanobacterial soil crusts in the Kalahari: Implications for soil surface properties. *Geomorphology*, 85(1): 17-29. doi:<https://doi.org/10.1016/j.geomorph.2006.03.029>.
 27. Ustin LS, Phillip GV, Shawn CK, Maria JS, Jeff FZ, Stanley DS. 2009. Remote sensing of biological soil crust under simulated climate change manipulations in the Mojave Desert. *Remote Sensing of Environment*, 113(2): 317-328. doi:<https://doi.org/10.1016/j.rse.2008.09.013>.
 28. Weber B, Hill J. 2016. Remote sensing of biological soil crusts at different scales. In: *Biological soil crusts: an organizing principle in drylands*. Springer, pp 215-234. https://doi.org/10.1007/978-1003-1319-30214-30210_30212.
 29. Weber B, Olehowski C, Knerr T, Hill J, Deutschewitz K, Wessels DCJ, Eitel B, Büdel B. 2008. A new approach for mapping of Biological Soil Crusts in semidesert areas with hyperspectral imagery. *Remote Sensing of Environment*, 112(5): 2187-2201. doi:<https://doi.org/10.1016/j.rse.2007.09.014>.
 30. Zhao Y, Qin N, Weber B, Xu M. 2014. Response of biological soil crusts to raindrop erosivity and underlying influences in the hilly Loess Plateau region, China. *Biodiversity and Conservation*, 23(7): 1669-1686. doi:<https://doi.org/10.1007/s10531-014-0680-z>.



RS & GIS for Natural Resources (Vol. 12/ Issue 2) Summer 2021

Indexed by ISC, SID, Magiran, Noormags, Civilica, Google Scholar
journal homepage : www.girs.iaubushehr.ac.ir



Original
paper

Spatial analysis of biological soil crust based on Biological Soil Crust (BSCI) index

Leila Kashi Zenouzi, Seyed Hasan Kaboli, Kazem Khavazi, Mohammad Sohrabi, Mohammad Khosroshahi

Received: 18 November 2020 / Accepted: 22 January 2021
Available online 21 July 2021

Abstract

Background and Objective Biological soil crusts are a collection of lichens, mosses, fungi, cyanobacteria, etc. that are part of the soil ecosystem. Estimation of density and distribution of biological soil crusts in arid and semi-arid regions of Iran, which is the subject of soil erosion and wastage is very important. Methods based on remote sensing techniques are important in terms of cost and time less efficient methods to achieve this goal. Segzi plain is one of the critical points of wind erosion in Iran and identifying and determining the distribution of biological soil crusts as a soil modifier is an effective step in reducing wind erosion in the region.

L. Kashi Zenouzi¹, S. H. Kaboli()², K. Khavazi³, M. Sohrabi⁴, M. Khosroshahi⁵

1. PhD Candidate in Combat to Desertification Department, Faculty of Desert Studies, University of Semnan, Iran
2. Assistant Professor of Combat to Desertification Department, Faculty of Desert Studies, University of Semnan, Iran
3. Professor, Department of Soil Biology Soil and Water Research Institute, Agricultural Research Education and Extension Organization (AREEO), Karaj, Iran
4. Assistant Professor, Iranian Research Organization for Science and Technology, Tehran, Iran
5. Associate Professor, Desert Research Division, Research Institute of Forests and Rangelands, Agricultural Research Education and Extension Organization (AREEO), Tehran, Iran

e-mail: hkaboli@semnan.ac.ir

<http://dorl.net/dor/20.1001.1.26767082.1400.12.2.1.4>

In this research, BSCI (Biological Soil Crust) index has been used to prepare the distribution map of lichen-dominated biological soil crusts.

Materials and Methods The study area is part of the Sajzi Desert (Central Deserts of Iran) which is located in Isfahan province of Iran. The study area with an area of 199.5 hectares is spread between the eastern lengths of 51°52'32" to 52°27'41" and the northern widths of 32°33'31" to 32°55'01". The average slope of Segzi plain is 1.08 percent and its average height is 1680 meters. According to the statistics of East Isfahan Meteorological Station (Shahid Beheshti Station), the average annual rainfall in the region is 106 mm. According to the Dumarten climatic classification, the climate of the region is dry and according to the Amberg classification it is cold. The BSCI index is a combination of the relationships used to estimate vegetation and bare soil surface, and its mathematical relationship is the slope of the soil line. To calculate the soil line in an area, one must first separate the pixels that have bare soil and no vegetation. In order to calculate the soil line equation, in four seasons of a year, images of Landsat OLI 8 satellite related to 2018 were downloaded from the site of the US Geological Survey and 20 to 30 pixels of pure bare soil were extracted by drawing the reflection values of these pixels in the red and infrared band. Red near soil line coefficients were calculated for each season in the Segzi Plain.

Based on BSCI index, lichen-dominated biological soil crust are identified using at least VIS-NIR spectral reflection and the slope between the red and green bands compared to bare soil and dry vegetation. Using ENVI software, the distribution shells of biological shells with lichen dominance were prepared in four seasons since 2018 in Segzi plain. Then, the prepared maps were validated based on land points and the total accuracy and kappa index were calculated in all four seasons. The collected lichen samples were identified based on their morphological characteristics and using a stereomicroscope, conventional microscope and common color reagents such as potassium hydroxide (KOH). After applying the BSCI index on the Landsat OLI 8 satellite image, using ENVI software, spectral profiles related to 4 points of Segzi plain in four seasons of the year were prepared and the spectral reflection in four seasons of the year in different points were examined.

Results and Discussion The slope of the soil line is lower in the rainy season, which coincides with the growth of herbaceous and annual plants, compared to the summer season, which has the least amount of rainfall, and the annual plants have dried up and become extinct. In May, the slope of the soil line was minimal (0.39) and in late summer it has its maximum value (0.78). In fact, the slope of the soil line has decreased from mid-August to May, and then has increased with the loss of annual vegetation and the increase of bare soil surface. The distribution maps of bio-shells in all four seasons of the year were validated during field visits and the year it was found that the highest accuracy of the map related to the map produced from Landsat 8 image is related to summer with 94% total accuracy and Kappa index equal to 0.7412. Interpretation of the spectral profiles of the BSCI index shows that the reflections of the spectra related to the zephyr and strain prepared on the lichen dispersion points are very close to each other and also the spectral profiles of the mid-autumn and early spring are quite consistent. Whereas in the faults, which did not cover the biological crust, the amount of reflection was higher and there was a slight difference between the reflection diagrams of autumn and spring.

Although the reflectance values of a range of agricultural lands and the distribution points of biological crusts are very close to each other, the spectral diagrams of all four seasons are very different from each other. But in all seasons of the year and in all places, the least reflection has occurred in the beginning of winter and the most reflection has occurred in summer. The climate of Segzi plain is Mediterranean and precipitation occurs in the cold season of the year. Simultaneously with the increase of precipitation from the middle of autumn, annual plants and mosses at the base of shrubs begin to grow and reach their peak in early winter and again at the beginning of spring. Decreases in rainfall have reduced their density. If the winter spectrum has the least reflection in all places. While in late summer, when the annuals and mosses have dried up, it has had the greatest spectral reflection. In Fasaran, which is a barren area and a landfill, it has shown its maximum reflection. Therefore, the BSCI index relative to the percentage of organic matter has a significant error in the detection of biological soil crust and where the organic matter is high may not provide accurate diagnosis of soil bioshells. Of course, since the BSCI index is defined for the detection of throat compounds in lichen tissues. The error rate for organic matter is reduced to a minimum. As it has been observed in the final map, there is no cover of biological soil crusts in Fasaran and only soil biological crusts are observed in the areas around Fasaran in the agricultural areas. In agricultural areas, due to human intervention and cultivation, the amount of annual plants is different from the field of natural resources in different seasons of a year have become.

Conclusion Spectral similarity of the most important soil surface, including vegetation, the involvement of human factors in increasing or decreasing soil organic matter, bare soil, etc. limits the efficiency of the BSCI index and therefore in the time period of satellite images and regional conditions have a great impact on It has the accuracy of BSCI index.

Keywords: Cyanolichen, Soil line index, Sejzi plain

Please cite this article as: Kashi Zenouzi L, Kaboli SH, Khavazi K, Sohrabi M, Khosroshahi M. 2021. Spatial analysis of biological soil crust based on Biological Soil Crust (BSCI) index. Journal of RS and GIS for Natural Resources, 12(2): 1-15.
<http://dorl.net/dor/20.1001.1.26767082.1400.12.2.1.4>